

# Формирование градиента температуры в гибридно-ориентированной жидкокристаллической ячейке под действием сдвигового напряжения

© А.В. Захаров, А.А. Вакуленко

Институт проблем машиноведения Российской академии наук,  
Санкт-Петербург, Россия

E-mail: avak2vale@mail.ru

(Поступила в Редакцию 25 декабря 2008 г.)

Исследована ориентационная релаксация поля директора, скорости и температуры в гибридно-ориентированной жидкокристаллической ячейке (ЖК-ячейке) под действием сдвигового напряжения (СН), приложенного к одной из поверхностей ячейки. Рассмотрены случаи полной и частичной термической изоляции одной из поверхностей при условии, что на другой поверхности ячейки поддерживается постоянная температура. Время релаксации и влияние поля скорости на процессы переориентации поля директора исследованы для ряда гидродинамических режимов, возникающих в ЖК-ячейке под действием СН и градиента температуры, формирующегося по сечению ЖК-ячейки.

Работа выполнена при поддержке Российского фонда фундаментальных исследований (грант № 09-02-00010-а).

PACS: 61.30.Cz, 64.70.Md

В последнее десятилетие наблюдается стремительный рост количества исследований в микрофлюидистике — области физики жидкостей в нанолитровых объемах ( $1 \text{ nl} = 10^{-12} \text{ m}^3$ ). Такой интерес к микрофлюидистике обусловлен широкими возможностями, открывающимися при использовании низкоразмерных анизотропных систем в прикладной биологии, медицине и микроэлектронике, а также с точки зрения изучения фундаментальных процессов, протекающих в этих системах [1–6]. В этой связи особый интерес представляют такие анизотропные системы, как жидкие кристаллы (ЖК) в микро- и наноскопических объемах (ЖК-ячейки), поскольку они являются основным элементом многих электронных приборов, таких как плоские ЖК-дисплеи, используемые в ноутбуках, органайзерах и сотовых телефонах [7]. В процессе эксплуатации этих электронных приборов ЖК-ячейки подвергаются воздействию внешних полей, как электромагнитных, так и температурных, что приводит к искажению распределения поля директора внутри ЖК-ячеек и, следовательно, изменению рабочих характеристик этих приборов. Поэтому изучению влияния внешних полей на характер распределения поля директора ЖК-фазы в микро- и наноскопических объемах сейчас уделяется большое внимание. В процессе эксплуатации ЖК-ячейки также могут подвергаться механическим воздействиям. Как было недавно показано [8], эти воздействия могут инициировать возникновение градиента температуры поперек ЖК-ячеек, которые в свою очередь являются дополнительным фактором, способствующим искажению поля директора внутри ЖК-ячеек. В настоящей работе предлагается описание одного из механизмов, ответственного за возникновение градиента температуры в ЖК-системе под действием механического воздействия на границе ячейки. Этот механизм, по-

видимо, может быть положен в основу наносенсоров, преобразующих механическую энергию в направленные градиенты температуры.

Рассмотрим для этой цели гибридно-ориентированную нематическую ячейку (ГОНЯ), представляющую собой ЖК-каплю, помещенную между двумя параллельными поверхностями, разделенными двумя спейсерами и расположенными таким образом, что директор на верхней ( $\hat{\mathbf{n}}_{z=d}$ ) и нижней ( $\hat{\mathbf{n}}_{z=0}$ ) поверхностях ячейки ориентирован параллельно (планарно) и перпендикулярно (гомеотропно) обем ограничивающим поверхностям. Это позволяет нам записать граничное условие для поля директора в виде

$$\theta_{z=0} = 0, \quad \theta_{z=d} = \frac{\pi}{2}, \quad (1)$$

где ось  $\mathbf{z}$  направлена от нижней границы к верхней перпендикулярно обем ограничивающим поверхностям, а угол  $\theta$  (полярный угол) образован направлением директора  $\hat{\mathbf{n}}$  и осью  $\mathbf{z}$ . При отсутствии внешних полей в такой ГОНЯ устанавливается линейное распределение поля директора, характеризующееся полярным углом  $\theta(z) = \frac{\pi}{2d}z$  [9]. Здесь ось  $\mathbf{x}$  совпадает с направлением директора на верхней ( $\hat{\mathbf{n}}_{z=d}$ ) поверхности ячейки, а ось  $\mathbf{y} = \mathbf{z} \times \mathbf{x}$  направлена перпендикулярно обем осям  $\mathbf{x}$  и  $\mathbf{z}$ . Таким образом, будем предполагать, что переориентация поля директора происходит в плоскости  $ZOX$ . Принимая во внимание тот факт, что толщина ГОНЯ  $d \ll l$ , где  $l$  — ширина или длина ячейки, можно предположить, что все физические величины, вовлеченные в процесс переориентации директора  $\hat{\mathbf{n}}(t, z) = \sin \theta(t, z)\hat{\mathbf{i}} + \cos \theta(t, z)\hat{\mathbf{k}}$ , зависят только от пространственной переменной  $z$  и времени  $t$ . Здесь  $\hat{\mathbf{i}}, \hat{\mathbf{k}}$  — орты пространственных осей  $\mathbf{x}$  и  $\mathbf{z}$  соответственно, а  $\hat{\mathbf{n}}$  — орт поля директора. Предположим далее,

что на нижней поверхности поддерживается постоянная температура, в то время как верхняя поверхность полностью либо частично термически изолирована, что предполагает выполнение условия

$$T_{z=0} = T_1, \quad -\lambda_{\perp} \left( \frac{\partial T(z)}{\partial z} \right)_{z=d} = Q_0, \quad (2)$$

где  $\lambda_{\perp}$  — коэффициент теплопроводности ЖК-фазы в направлении, перпендикулярном направлению директора  $\hat{\mathbf{n}}$ , а  $Q_0$  — поток тепла через верхнюю поверхность. Принимая во внимание тот факт, что толщина ЖК-ячейки варьируется в пределах нескольких микрометров [7], будем считать, что плотность ЖК-фазы постоянна по сечению ячейки ( $\rho_m = \text{const}$ ). Таким образом, мы имеем дело с несжимаемой ЖК-фазой, и условие несжимаемости принимает вид

$$\frac{\partial v_x(t, z)}{\partial x} + \frac{\partial v_z(t, z)}{\partial z} = 0. \quad (3)$$

Последнее условие с учетом отсутствия проскальзывания на одной из ограничивающих поверхностей ЖК-ячейки (например, нижней)

$$v_x(t, z)_{z=0} = 0, \quad v_z(t, z)_{z=0} = 0 \quad (4)$$

приводит к тому, что в несжимаемой ГОНЯ существует только один гидродинамический поток, направленный параллельно ограничивающим поверхностям  $\mathbf{v} = v_x(t, z)\hat{\mathbf{i}} = u(t, z)\hat{\mathbf{i}}$ . Предположим далее, что в начальный момент времени к верхней границе ЖК-ячейки приложено сдвиговое напряжение (СН)

$$(\sigma_{zx})_{z=d} = \sigma_{zx}^0. \quad (5)$$

Под действием этого СН  $\sigma_{zx}^0$  в ГОНЯ возникает упругий  $\mathbf{T}_{\text{elast}} = -(\mathcal{G}(\theta)\theta_{zz} + \frac{1}{2}\mathcal{G}_{\theta}(\theta)\theta_z^2)\hat{\mathbf{j}}$ , вязкий  $\mathbf{T}_{\text{vis}} = (\gamma_1\theta_t - \mathcal{A}(\theta)u_z)\hat{\mathbf{j}}$  и термомеханический [8,10]  $\mathbf{T}_{\text{tm}} = \xi\theta_z T_z (\frac{1}{2} + \sin^2\theta)\hat{\mathbf{j}}$  моменты, действующие на единицу объема ЖК-фазы. Здесь  $\theta_{zz} = \partial^2\theta(t, z)/\partial z^2$ ,  $\theta_t = \partial\theta(t, z)/\partial t$ ,  $u_z = \partial u(t, z)/\partial z$ ,  $\xi = 10^{-12} \text{ J/m} \cdot \text{K}$  — термомеханическая постоянная [10], а функции  $\mathcal{G}(\theta) = K_1 \sin^2\theta + K_3 \cos^2\theta$  и  $\mathcal{A}(\theta) = \frac{1}{2}(\gamma_1 - \gamma_2 \cos 2\theta)$  отражают суть упругих и вязких сил соответственно. В этих выражениях  $K_1$  и  $K_3$  — упругие постоянные Франка, зависящие от температуры и соответствующие поперечным и продольным модам деформации, а  $\gamma_i$  ( $i = 1, 2$ ) — коэффициенты вращательной вязкости нематика, которые также могут зависеть от температуры. При этих условиях уравнение баланса моментов, действующих на единицу объема ЖК-ячейки, принимает безразмерный вид [8,11]

$$\bar{\gamma}_1(\chi)\theta_t = \bar{\mathcal{A}}(\theta)u_z + (\bar{\mathcal{G}}(\theta)\theta_z)_z - \frac{1}{2}\bar{\mathcal{G}}_{\theta}\theta_z^2 - \delta_1\theta_z\chi_z \left( \frac{1}{2} + \sin^2\theta \right), \quad (6)$$

где  $\chi(\tau, z) = T(\tau, z)/T_{NI}$  — безразмерная температура,  $\bar{\gamma}_1(\chi) = \frac{\gamma_1(\chi)}{\gamma_{10}}$  — безразмерный коэффициент вращатель-

ной вязкости,  $T_{NI}$  — значение температуры, соответствующее переходу нематик-изотропная жидкость,  $\bar{\mathcal{A}}(\theta) = \mathcal{A}(\theta)/\gamma_{10}$  и  $\bar{\mathcal{G}}(\theta) = \mathcal{G}(\theta)/K_{10}$  — безразмерные функции, зависящие от полярного угла,  $\delta_1 = \xi \frac{T_{NI}}{K_{10}}$  — безразмерный параметр системы,  $\gamma_{10}$  и  $K_{10}$  — максимальное значение коэффициентов  $\gamma_1$  и  $K_1$  в интервале температур, соответствующих нематической фазе, а  $\tau = tK_{10}/(\gamma_{10}d^2)$  и  $\bar{z} = z/d$  — безразмерные время и пространственная переменная по сечению ЖК-ячейки толщиной  $d$ . Здесь и далее под  $z$  будем подразумевать  $z/d$ . Два других уравнения, описывающих состояние ЖК-ячейки под действием СН  $\sigma_{zx}^0$ , являются уравнениями сохранения баланса импульсов и энтропии и в этих условиях принимают безразмерный вид [8,11]

$$\delta_2\partial_{\tau}u(\tau, z) = \partial_z\bar{\sigma}_{zx}, \quad (7)$$

$$P_z(\tau, z) + \frac{\partial R}{\partial\theta_r}\theta_z = 0, \quad (8)$$

$$\delta_3\partial_{\tau}\chi(\tau, z) = [\chi_z(\lambda \cos^2\theta + \sin^2\theta)]_z + \delta_4 \left[ \chi\theta_z \left( \theta_{\tau} \left( \frac{1}{2} + \sin^2\theta \right) - \frac{3}{2}u_z \sin^2\theta \right) \right]_z = 0. \quad (9)$$

Здесь  $\delta_2 = \frac{\rho_m K_{10}}{\gamma_{10}^2}$ ,  $\delta_3 = \frac{\rho_m C_p K_{10}}{\gamma_{10} \lambda_{\perp}}$  и  $\delta_4 = \xi \frac{T_{NI}}{K_{10}}$  — еще три параметра системы, в то время как  $\bar{\sigma}_{zx} = \frac{\delta R}{\delta u_z} = \bar{h}(\theta)u_z - \bar{\mathcal{A}}(\theta)\theta_{\tau} - \frac{3}{2}\delta_1\chi_z\theta_z \sin^2\theta$  — безразмерная тангенциальная составляющая тензора напряжений  $\sigma_{ij}$  [12], а  $\bar{\mathcal{R}} = \frac{\gamma_{10}d^4}{K_{10}}\mathcal{R}$  — полная безразмерная диссипационная функция Рэлея (ДФР) [8,11,12]. В свою очередь полная размерная ДФР  $\mathcal{R}$  может быть представлена в виде суммы  $\mathcal{R} = \mathcal{R}_{\text{vis}} + \mathcal{R}_{\text{tm}} + \mathcal{R}_{\text{th}}$ , где  $\mathcal{R}_{\text{vis}} = \frac{1}{2}h(\theta)u_z^2 - \mathcal{A}(\theta)\theta_t u_z + \frac{1}{2}\gamma_1\theta_t^2$  — вязкий,  $\mathcal{R}_{\text{tm}} = \xi\theta_t\theta_z T_z (\frac{1}{2} + \sin^2\theta) - \frac{3}{2}\xi T_z u_z \theta_z \sin^2\theta$  — термомеханический и  $\mathcal{R}_{\text{th}} = \frac{1}{2T}(\lambda_{\parallel} \cos^2\theta + \lambda_{\perp} \sin^2\theta)$  — термический вклады в ДФР соответственно [8,10,11]. Здесь  $\bar{h}(\theta) = \frac{h(\theta)}{\gamma_{10}} = [\alpha_1 \sin^2\theta \cos^2\theta - \mathcal{A}(\theta)\theta_t u_z + \frac{1}{2}\alpha_4 + g(\theta)]/\gamma_{10}$  и  $g(\theta) = \frac{1}{2}(\alpha_6 \sin^2\theta + \alpha_5 \cos^2\theta)$  — две зависящие от коэффициентов Лесли  $\alpha_i$  ( $i = 1, \dots, 6$ ) [9,12] гидродинамические функции полярного угла  $\theta$ .  $\bar{P}(\tau, z) = \frac{d^2}{K_{10}}P(\tau, z)$  — безразмерное гидростатическое давление в ЖК-ячейке, которое состоит из двух вкладов: вязкого вклада, определяемого величиной  $\int_0^z \frac{\partial R(\tau, z)}{\partial\theta_r}\theta_z dz$ , и упругого вклада, определяемого потенциалом Франка  $\frac{1}{2}\mathcal{G}(\theta)\theta_z^2$ ,  $\lambda = \frac{\lambda_{\parallel}}{\lambda_{\perp}}$ , где  $\lambda_{\parallel}$  и  $\lambda_{\perp}$  — коэффициенты теплопроводности ЖК-ячейки в направлениях, параллельном и перпендикулярном направлению директора  $\hat{\mathbf{n}}$  соответственно, а  $C_p$  — коэффициент теплоемкости ЖК-ячейки. Таким образом, формирование градиента температуры по сечению ГОНЯ, в которой верхняя поверхность полностью либо частично термически

изолирована и к которой приложено СН  $\sigma_{zx}^0$ , а на нижней поверхности поддерживается постоянная температура, описывается системой нелинейных дифференциальных уравнений в частных производных (5)–(8), дополненных граничными условиями (1), (2), (4) и (5).

В случае ЖК-ячейки, образованной молекулами 4-*n*-пентил-*n*'-цианобифенил (5ЦБ), температурный интервал существования нематической фазы соответствует  $295 \leq T \leq T_{NI} \approx 307$  К. В этом интервале температур значения коэффициентов упругости  $K_1(T)$  и  $K_3(T)$  варьируется между 5 и 13 pN и 8 и 19 pN [13] соответственно, в то время как данные для  $\gamma_1(T)$  [14] изменяются между 0.033 и 0.077 Pa · s соответственно.

Значения коэффициентов теплоемкости и теплопроводности в этом температурном интервале в среднем постоянны и равны  $C_p = 10^3$  J/kg · K [15],  $\lambda_{\parallel} = 0.24$  W/m · K,  $\lambda_{\perp} = 0.13$  W/m · K [16] соответственно. С учетом значений коэффициентов Лесли, соответствующих нематической фазе 5ЦБ [14], величины параметров  $\delta_i$  ( $i = 1, \dots, 4$ ) равны  $\delta_1 = 24$ ,  $\delta_2 = 2 \cdot 10^{-6}$ ,  $\delta_3 = 6 \cdot 10^{-4}$ ,  $\delta_4 = 2 \cdot 10^{-9}$ . Поэтому с учетом того, что  $\delta_i \ll 1$  ( $i = 2, 3, 4$ ), уравнения (7) и (9) упрощаются и принимают вид

$$\bar{h}(\theta)u_z - \bar{\mathcal{A}}(\theta)\theta_{\tau} - \frac{3}{2}\delta_1\chi_z\theta_z \sin^2\theta = \sigma_{zx}^0, \quad (10)$$

$$[\chi_z(\lambda \cos^2\theta + \sin^2\theta)]_z = 0 \quad (11)$$

соответственно.

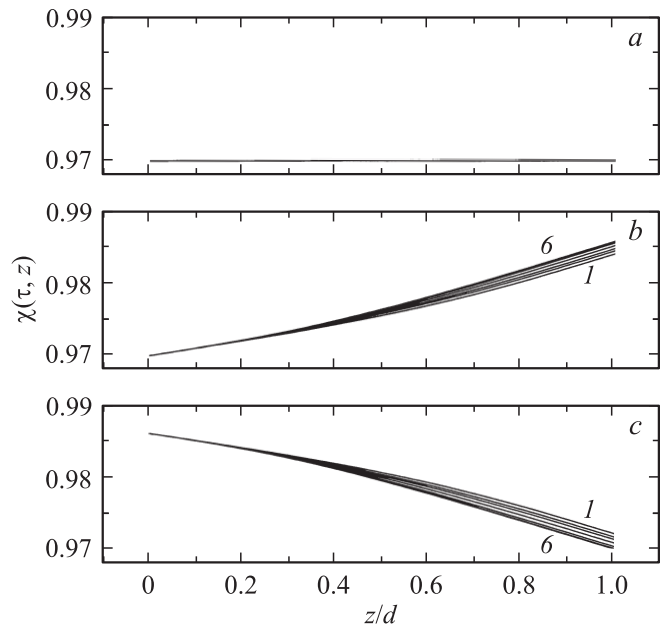
Таким образом, система нелинейных дифференциальных уравнений в частных производных (6), (10) и (11) описывает процесс переориентации поля директора  $\theta(\tau, z)$  в ГОНЯ под действием СН  $\sigma_{zx}^0$ , приложенного к верхней границе нематической ячейки, которая полностью либо частично термически изолирована, в то время как на нижней границе поддерживается постоянная температура. В соответствии с этой задачей граничные условия для поля температуры и директора могут быть записаны в безразмерном виде как

$$\begin{aligned} \chi_{z=0} &= \chi_1, & (\chi_z)_{z=1} &= q_0, \\ \theta_{z=0} &= 0, & \theta_{z=1} &= \frac{\pi}{2}, \end{aligned} \quad (12)$$

где  $\chi_1 = \frac{T_1}{T_{NI}}$  — безразмерная температура на нижней границе ячейки, а  $q_0 = -\frac{Q_0 d}{T_{NI} \lambda_{\perp}}$  — безразмерный тепловой поток через верхнюю границу ЖК-ячейки. Из уравнения (11) непосредственно следует, что градиент температуры, формирующийся по сечению ЖК-ячейки, пропорционален потоку тепла  $q_0$  через верхнюю поверхность нематической ячейки

$$\chi_z = \frac{q_0}{\lambda \cos^2\theta + \sin^2\theta}. \quad (13)$$

Таким образом, из уравнения (13) следует, что в ГОНЯ с термически изолированной верхней границей



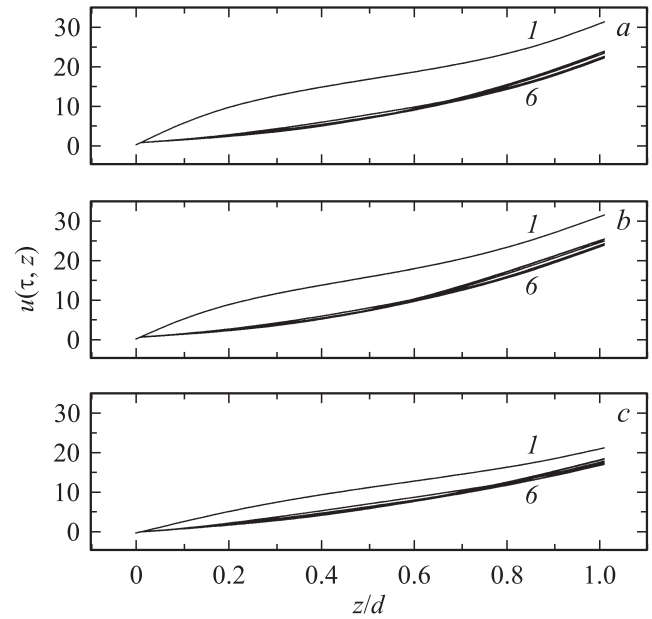
**Рис. 1.** Релаксация безразмерного поля температуры  $\chi(\tau, z)$  к равновесному распределению по сечению ГОНЯ, соответствующему кривой *б*, под действием СН  $\sigma_{zx}^0 = 10$  для трех случаев термической изоляции границы. *a* — случай полной ( $q_0 = 0$ ) изоляции; *b, c* — случаи частичной ( $q_0 = 0.02$ ) (*b*) и ( $q_0 = -0.02$ ) (*c*) термической изоляции верхней ограничивающей поверхности. В случаях *b* и *c* тепловой поток направлен внутрь и из ячейки соответственно. Кривые 1–6 представляют собой решение системы уравнений (6), (10) и (11) с граничными условиями (4), (5) и (12). Кривая 1 соответствует значению  $\tau \sim 10^{-3}$ , кривая *б* — равновесному распределению спустя время  $\tau_R \sim 0.32$  ( $\sim 0.045$  s).

градиент температуры  $\chi_z = 0$ , и вся механическая энергия СН  $\sigma_{zx}^0$  диссипирует так, что в ЖК-ячейке генерируется гидродинамический поток  $u(\tau, z)$ , направленный параллельно ограничивающим поверхностям и вызывающий переориентацию поля директора  $\theta(\tau, z)$ . В случае частичной термической изоляции верхней поверхности ГОНЯ, подразумевающей наличие теплового потока  $q_0$  внутрь либо из ячейки, по сечению ЖК-ячейки формируется градиент температуры, величина которого пропорциональна величине  $q_0$ , а его направление зависит от того, в какую сторону направлен тепловой поток. На рис. 1 представлены результаты расчета профиля температуры  $\chi(\tau, z)$  по сечению безразмерной ГОНЯ для трех случаев термической изоляции верхней границы. В первом случае (рис. 1, *a*) поверхность полностью термически изолирована, и как следствие температура постоянна по всему сечению ЖК-ячейки, в то время как в двух других случаях мы имеем дело с частичной термоизоляцией верхней границы, что подразумевает наличие теплового потока, направленного как внутрь (рис. 1, *b*), так и вне их (рис. 1, *c*) ЖК-ячейки. В случае, представленном на рис. 1, *b*, мы имеем дело с разогревом ( $\chi_{z=1} \sim 0.986$  ( $\sim 304$  К)), а в случае, приведенном на рис. 1, *c*, — с охлаждением ( $\chi_{z=1} \sim 0.97$  ( $\sim 298$  К))

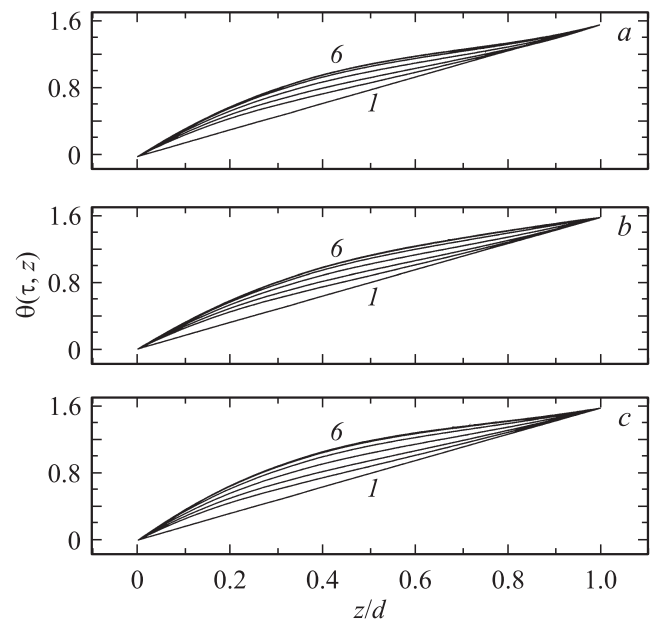
верхней ограничивающей поверхности по сравнению с температурой, поддерживаемой на нижней границе ЖК-ячейки. В обоих случаях величина теплового потока равна  $q = 0.02$ , что соответствует величине размерного теплового потока  $Q_0 \sim 200 \text{ nW}/\mu\text{m}^2$ , направленного через верхнюю границу внутрь либо из пятимикрометровой ЖК-ячейки.

В случае такого теплового потока, как  $Q_0 \sim \pm 200 \text{ nW}/\mu\text{m}^2$  ( $q_0 = \pm 0.02$ ), спустя время  $t_R \sim 0.045 \text{ s}$  ( $\tau_R \sim 0.32$ ) (кривая *б* на рис. 1, *б* или *с*) устанавливается равновесное распределение поля температуры  $T_{\text{eq}}(z)$  ( $\chi_{\text{eq}}(z)$ ) по сечению пятимикрометровой ЖК-ячейки, характеризующейся тем, что на нижней ограничивающей поверхности поддерживается постоянная температура  $T_{z=0} = 298 \text{ K}$  ( $\sim \chi_{z=0} = 0.97$ ) (рис. 1, *б*), в то время как на верхней поверхности устанавливается окончательная температура  $T_{z=d} = 304 \text{ K}$  ( $\sim \chi_{z=1} = 0.986$ ) (рис. 1, *б*). Для случая, представленного на рис. 1, *с*, последовательность чередования температур меняется. Следует отметить, что размерная величина теплового потока  $Q_0$  подобрана таким образом, чтобы вариации поля температуры оставались в области существования ЖК-фазы. Во всех трех случаях ( $q_0 = 0, \pm 0.02$ ) результаты расчета эволюции гидродинамического потока  $u(\tau, z)$ , направленного параллельно ограничивающим поверхностям, и переориентации поля директора  $\theta(\tau, z)$ , обусловленные этими потоками, представлены на рис. 2 и 3 соответственно. Следует отметить, что для случая подвижной верхней границы ( $z = 1$ ) при условии, что приложено достаточно большое СН  $\sigma_{zx}^0 = 10$  ( $\sim 5 \text{ pN}/\mu\text{m}^2$ ), влияние термомеханических сил (градиента температуры) на эволюцию поля директора практически незаметно (рис. 3, *а-с*). При этом время релаксации как поля директора и гидродинамического потока, так и поля температуры к их равновесным распределениям по сечению ЖК-ячейки практически не меняется и равно  $\tau_R \sim 0.32$  ( $\sim 0.045 \text{ s}$ ).

Наши расчеты также показали, что с изменением направления СН с положительного ( $\sigma_{zx}^0 = 10$ ) на отрицательное ( $\sigma_{zx}^0 = -10$ ) характер переориентации поля директора претерпевает как количественное, так и качественное изменение (рис. 4). В случае, когда СН  $\sigma_{zx}^0 = -10$  ( $\sim -5 \text{ pN}/\mu\text{m}^2$ ), начальная ориентация поля директора, характеризующаяся линейной зависимостью полярного угла  $\theta(z) = \frac{\pi}{2}z$  по сечению ГОНЯ, претерпевает такое изменение, что поле директора вблизи нижней ограничивающей поверхности переориентируется в отрицательном направлении, характеризующимся отрицательными значениями полярного угла  $\theta(\tau, z)$  (рис. 4, *б*). По мере переориентации поля директора область отрицательных значений полярного угла  $\theta(\tau, z)$  расширяется вплоть до значения  $\theta_{\text{eq}}(z = 0.31) = 0.3$  ( $\sim 17^\circ$ ), а область отрицательных значений полярного угла  $\theta$  простирается до  $z \sim 0.6$ . Такая сложная переориентация поля директора осуществляется под действием как гидродинамического потока, обусловленного СН  $\sigma_{zx}^0$ , так и термомеханической

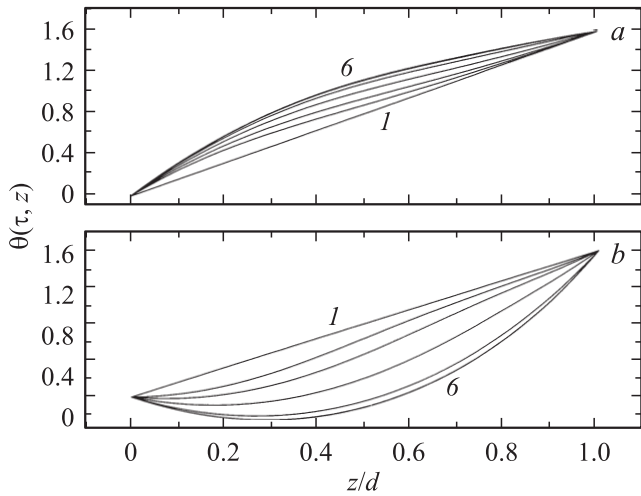


**Рис. 2.** Эволюция безразмерного поля скорости  $u(\tau, z)$  к равновесному распределению  $u_{\text{eq}}(z)$  по сечению ГОНЯ под действием СН  $\sigma_{zx}^0 = 10$ . Обозначения те же, что на рис. 1.

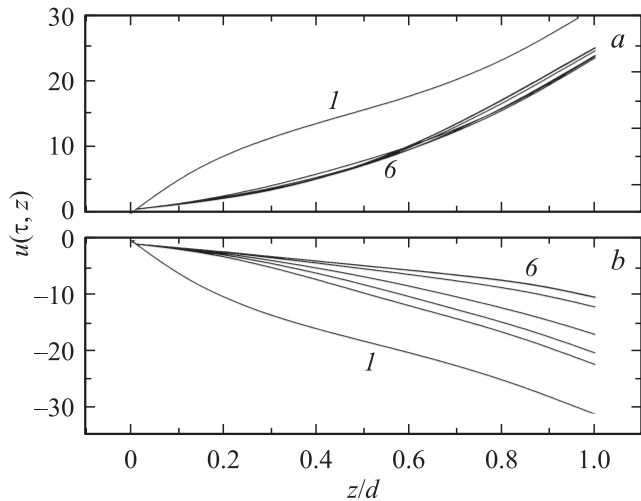


**Рис. 3.** Релаксация полярного угла  $\theta(\tau, z)$  к равновесному распределению  $\theta_{\text{eq}}(z)$  по сечению ГОНЯ. Обозначения те же, что на рис. 1.

силы, обусловленной наличием градиента температуры. Эволюция распределения поля скорости  $u(\tau, z)$  по сечению ГОНЯ для случая  $\sigma_{zx}^0 = \pm 10$  представлена на рис. 5, *а* и *б* соответственно. В случае положительной направленности СН  $\sigma_{zx}^0 = 10$  начальная ориентация поля директора, характеризующаяся также линейной зависимостью полярного угла от расстояния до нижней границы ЖК-ячейки, под действием СН монотонно пере-



**Рис. 4.** Релаксация полярного угла  $\theta(\tau, z)$  к равновесному распределению  $\theta_{qe}(z)$  по сечению ГОНЯ под действием СН  $\sigma_{zx}^0 = 10$  (a) и  $-10$  (b) соответственно. В обоих случаях величина теплового потока  $q_0 = 0.02$  направлена внутрь ячейки. Обозначения кривых те же, что на рис. 1.



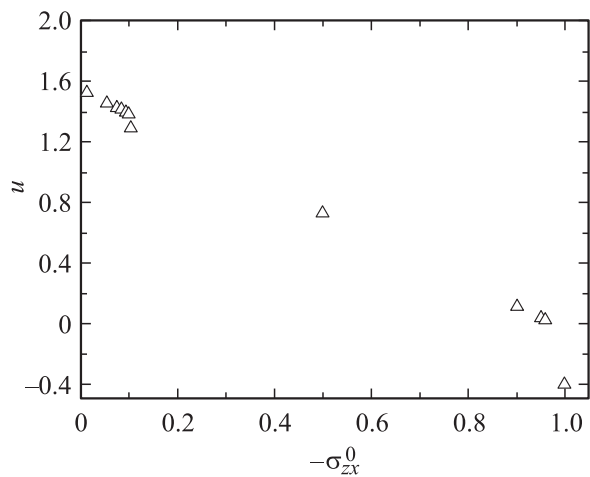
**Рис. 5.** Эволюция безразмерного поля скорости  $u(\tau, z)$  к равновесному распределению  $u_{eq}(z)$  по сечению ГОНЯ. Обозначения те же, что на рис. 4.

ориентируется в положительном направлении по всему сечению ГОНЯ и представлена на рис. 4, a.

Наши вычисления также показали, что влиянием термомеханических сил, обусловленных наличием градиента температуры по сечению ЖК-ячейки, при значениях СН  $|\sigma_{zx}^0| \sim 10$  можно пренебречь. По мере того как абсолютная величина  $|\sigma_{zx}^0|$  убывает, влияние термомеханических сил возрастает. Посредством численного анализа системы нелинейных уравнений в частных производных, описывающих переориентацию поля директора под действием СН, приложенного в верхней ограничивающей поверхности нематической ячейки, нам удалось оценить величины СН  $\sigma_{zx}^0$  и теплового потока  $q_0$ , при которых отсутствует проскальзывание нематической жидкости

на верхней ограничивающей поверхности. На рис. 6 представлены результаты расчета величины гидродинамической скорости  $u_{z=1}(z)$  на верхней поверхности ЖК-ячейки в зависимости от приложенного СН  $\sigma_{zx}^0$ . Установлено, что с ростом абсолютной величины СН, приложенного в отрицательном направлении к верхней ограничивающей поверхности, величина скорости убывает и меняет направление при значениях  $\sigma_{zx}^0 \sim -0.97$  ( $-0.5 \text{ pN}/\mu\text{m}^2$ ). При этом тепловой поток  $q_0 = 0.02$  ( $Q_0 \sim 200 \text{ nW}/\mu\text{m}^2$ ) был направлен внутрь нематической ячейки. Необходимо также отметить, что механическое воздействие на ЖК-ячейку, приложенное перпендикулярно ограничивающим поверхностям ( $\sigma_{xx}, \sigma_{zz}$ ), не влияет на характер переориентации поля директора, поскольку в нашем случае нормальные компоненты  $\sigma_{ij}$  не вносят вклад в уравнение баланса импульсов (10).

Предыдущие исследования ориентированных процессов релаксации в цианобифенилах, таких как 5СБ [8,11,17], которые образуют нематическую фазу при температурах, близких к комнатным, показали, что гидродинамическое течение ЖК-фазы в горизонтальном направлении способно сформировать градиент температуры по сечению ГОНЯ, а величина и направление этого градиента зависят от формы и направления гидродинамического потока [8]. Под формой потока понимается профиль скорости по сечению ЖК-ячейки, характеризующийся конечной величиной скорости сдвига  $\dot{\gamma} = u_z$ . В частности, было показано, что величина  $\dot{\gamma}$  сильно влияет на величину перепада температуры  $\Delta T = T_2 - T_1$  по сечению гибридно-ориентированной ЖК-ячейки [8]. В случае механической деформации под действием сдвигового напряжения, приложенного к планарно ориентированной границе ЖК-ячейки, по сечению ГОНЯ градиент температуры формируется лишь при условии неполной термической изоляции этой границы. Величина этого градиента температуры пропорциональна величине теплового потока, направленного через верхнюю



**Рис. 6.** Зависимость гидродинамической скорости  $u(z)_{z=1}$  на верхней ограничивающей поверхности ячейки от величины СН  $\sigma_{zx}^0$  при фиксированном тепловом потоке  $q_0 = 0.02$ , направленном внутрь ГОНЯ.

ограничивающую поверхность. В свою очередь величина  $\Delta T$  была выбрана таким образом, чтобы система оставалась в жидкокристаллическом состоянии. Если же достигалась полная термическая изоляция верхней ограничивающей поверхности при условии, что на нижней температура была постоянна, то вся механическая энергия, соответствующая сдвиговому напряжению, диссипировала в форме гидродинамического потока, направленного параллельно ограничивающим поверхностям ЖК-ячейки, вызывая таким образом переориентацию поля директора. Было показано, что изменение направления сдвигового напряжения (например, с положительного на отрицательное) качественно меняет характер релаксации поля директора. Для примера можно сравнить рис. 4, *a* и *b*. Все это свидетельствует о том, что характер сдвигового напряжения не только сильно влияет на ориентацию поля директора ЖК-ячейки, но и способен при определенных условиях термической изоляции ограничивающей поверхности сформировать градиент температуры по сечению ЖК-ячейки. Таким образом, мы надеемся, что настоящая работа дает ответы на некоторые вопросы, связанные с описанием релаксационных процессов, протекающих в ЖК-ячейках под действием механической деформации этих ячеек, а также предлагает описание механизма, ответственного за возникновение градиента температуры в ЖК-ячейках.

## Список литературы

- [1] A.D. Stroock, S.K.W. Dertinger, A. Ajdari, I. Mezic, H.A. Stone, G.M. Whitesides. *Science* **295**, 647 (2002).
- [2] T. Thorsen, S.J. Maerkl, S.R. Quake. *Science* **298**, 580 (2002).
- [3] G.M. Whitesides. *Nature* **442**, 368 (2002).
- [4] N. Garnier, R.O. Grigoriev, M.F. Schatz. *Phys. Rev. Lett.* **91**, 054 501 (2005).
- [5] T.M. Squires, S.R. Quake. *Rev. Mod. Phys.* **77**, 977 (2005).
- [6] F.M. Weinert, J.A. Krans, T. Franosch, D. Braun. *Phys. Rev. Lett.* **100**, 164 501 (2008).
- [7] D.K. Yang, S.T. Wu. *Fundamentals of liquid crystal devices*. John Wiley, N.Y. (2006). 394 p.
- [8] A.V. Zakharov, A.A. Vakulenko. *Chem. Phys. Lett.* **454**, 80 (2008).
- [9] P.G. de Gennes, J. Prost. *The physics of liquid crystals*. Oxford University Press, Oxford (1995). 349 p.
- [10] P.C. Акопян, Б.Я. Зельдович, *ЖЭТФ* **87**, 1660 (1984).
- [11] A.V. Zakharov, A.A. Vakulenko, *J. Chem. Phys.* **127**, 084 907 (2007).
- [12] I.W. Stewart. *The static and dynamic continuum theory of liquid crystals*. Taylor and Francis, London (2004). 345 p.
- [13] N.V. Madhusudana, R.P. Ratibha. *Mol. Cryst. Liq. Cryst.* **89**, 2493 (1982).
- [14] A.G. Chmielewski. *Mol. Cryst. Liq. Cryst.* **132**, 339 (1986).
- [15] P. Jamee, G. Pitsi, J. Thoen. *Phys. Rev. E* **66**, 021 707 (2002).
- [16] M. Marinelli, A.K. Ghosh, F. Mercuri. *Phys. Rev. E* **63**, 061 713 (2001).
- [17] А.В. Захаров, А.А. Вакуленко. *ФТТ* **50**, 1906 (2008).